

1 绪论

1.1 研究背景与意义

随着金融市场的不断演变和信息技术的快速发展，量化投资作为一种基于计算机程序与数学模型进行投资决策的方法，正逐渐成为广泛关注的焦点 [?]。量化投资是一种基于数理模型和计算机技术的投资方式。它将投资理念转化为数学模型，利用计算机分析海量历史数据，寻找能持续产生超额收益的统计规律（“大概率事件”），并据此制定、验证和固化投资策略。其核心在于系统化地执行这些固化的策略，替代主观人为决策，由于中国股市投资者普遍股龄短，经验少，风险意识较弱，过度自信，投资的非理性成分较多 [26]。这种方法依赖数据和模型，而非个人判断，旨在克服人类固有的情感弱点和认知偏差，减少情绪化决策，最终实现可持续的、稳定超越市场基准的收益。

中证消费 50 指数聚焦食品饮料、家电、医药等核心消费龙头，是 A 股“长牛赛道”的代表。但消费行业受宏观经济周期（如消费复苏）、政策（消费税、补贴）、消费习惯变迁（Z 世代偏好）等多重因素影响，波动性与结构性分化加剧，传统基本面分析难以捕捉动态风险收益特征。

在此框架下，中证消费 50 指数因其成分股盈利稳定、行业代表性强，成为配置中国消费升级趋势的重要标的。然而，该指数独特的窄基属性——仅 50 只成分股且集中于食品饮料、家电等少数行业——导致其在量化建模中面临传统宽基指数未遇的挑战。当前行业实践表明，预处理环节存在显著方法论困境：首先，在离群值处理上，学术研究虽倾向采用 Winsorization 缩尾法或 Huber M 估计，但业界机构大部分依赖简单阈值过滤（如 ± 3 标准差截断），而消费板块频发的集群性事件冲击要求更高崩溃点的处理方法，现有技术难以平衡噪声抑制与信号保留；其次，中性化技术面临场景适配矛盾，尽管行业市值线性回归是宽基指数的主流选择，但中证消费 50 的行业偏态分布使全市场回归引入样本偏差，而指数内回归又受小样本制约导致参数估计失稳，矩阵分解法则因因子经济意义模糊，实际应用率不足；更关键的是，部分量化机构未系统比较不同预处理方法性能，导致因子暴露计算失真，进而引发 IC 值波动率增加及分层收益反转频率升高等下游问题。

为破解上述困境，本研究构建了预处理方法的定量比较框架：通过蒙特卡罗模拟生成具有消费数据特性的合成数据集，实证对比离群值处理中 MAD 法与 Huber M 方法的性能，同时对比了中性化处理中线性回归方法和矩阵分解正交化方法的性能。为消费窄基指数的多因子建模提供了经实验优化的预处理标准，探究出更稳健的预处理方法方便后续地收益分析。

1.2 研究内容

本研究聚焦中证消费 50 指数的多因子建模预处理环节，旨在解决窄基消费数据特有的离群值干扰与中性化适配难题。核心研究内容包含三个维度。

1.2.1 离群值处理方法比较体系构建

针对消费数据事件驱动型集群离群值特征，系统对比 MAD 法与 Huber M 估计的抗干扰性能。重点量化评估两类指标：

1.2.2 中性化技术的情景适配性验证

立足中证消费 50 行业集中度高与小样本的双重约束，实证检验两类中性化路径：显式控制法：线性回归引入行业市值哑变量；隐式降维法：矩阵分解（PCA）正交化。关键评价指标包括行业暴露残余风险、因子 IC 衰减率及经济可解释性

1.2.3 预处理-因子检验链路的鲁棒性优化

将优选预处理方法（MAD+ 线性回归）嵌入完整多因子分析流程，包括因子有效性检验：回归分析，IC 值分析、因子收益率 T 检验；策略性能验证：分层回测；稳健性压力测试：IC 值波动分析。

1.3 论文框架

本文研究框架如图 1 所示：

研究框架包含四个核心模块：

1. 预处理模块：包含离群化处理、标准化处理和中性化处理
2. 蒙特卡罗评估模块：对比预处理组合的性能
3. 方法优选模块：确定最优预处理方法组合
4. 下游分析模块：进行回归分析、IC 值分析、分层回测、滚动 IC 值分析等验证工作

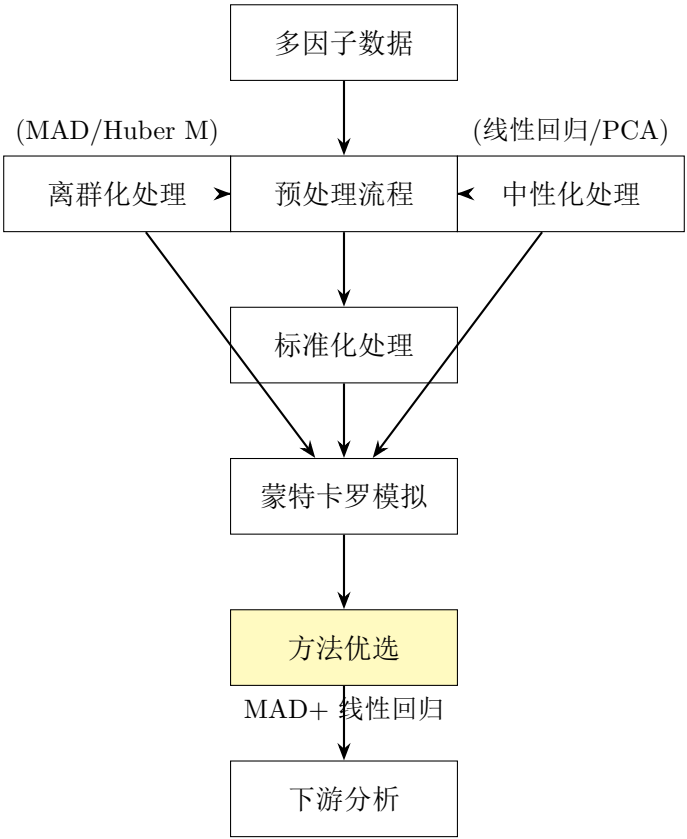


图 1 本文研究框架图

2 构建因子池以及筛选有效因子

2.1 选取候选因子

2.1.1 数据选取

本研究的核心数据通过 Akshare 接口获取了 2023 年 6 月 6 日至 2025 年 6 月 6 日的中证消费 50 指数成分股，由于技术原因以及中证消费 60 指数成分股本身波动性较大的原因，实际获取的成分股数据为 41 支。

因子类别与指标：

因子类型 [25]	典型代表
估值类	PEG 值、市净率、市盈率 (静态)、市销率
成长类	净利润增长率、净资产增长率、营业收入增长率、净资产收益率、总资产收益率、总市值
品质类	存货周转率 (次)、总资产周转率 (次)、流动资产周转率 (次)、资本固定化比率 (%)
技术类	20 日动量、60 日动量、20 日移动平均、20 日波动率、60 日波动率

3 不同预处理的因子结果

3.1 离群化、标准化

由前文可知，我利用了 MAD 和 Huber M 方法分别对因子进行离群化处理，并且利用 Z-score 方法进行标准化。

3.1.1 MAD 离群化 + 标准化

通过 iquant 国信平台分别对中证消费 50 指数的成分股中的估值类因子、成长类因子、品质类因子、技术类因子进行 MAD 离群化处理和 Z-score 方法进行标准化，以成长类因子为例，左图为处理前，右图为处理后。

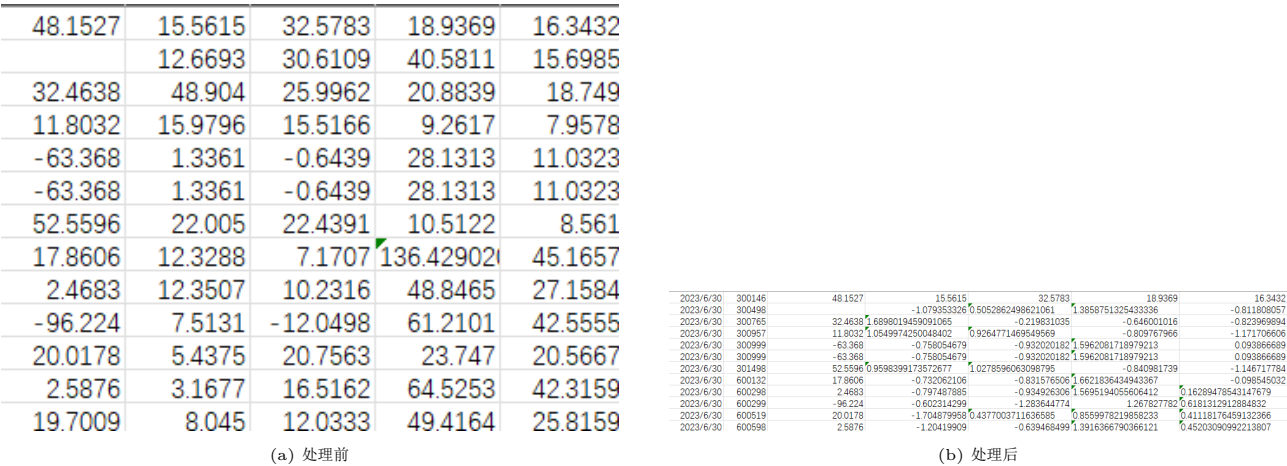


图 2 成长类因子 MAD 离群化标准化处理效果对比

3.1.2 Huber M+ 标准化

通过 python 处理分别对中证消费 50 指数的成分股中的估值类因子、成长类因子、品质类因子、技术类因子进行 Huber M 离群化处理并进行可视化分析,以成长类因子为例。

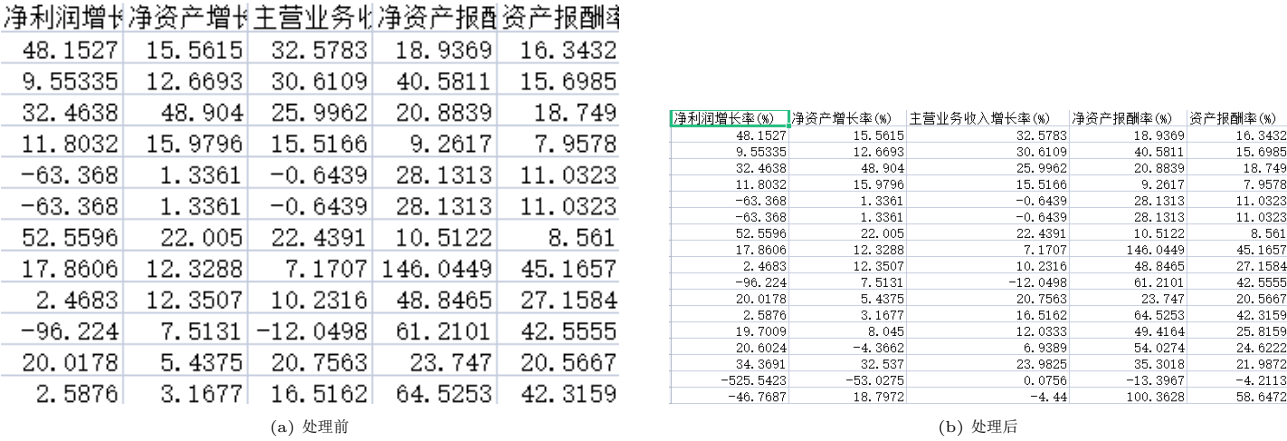


图 3 成长类因子 Huber M 离群化标准化处理效果对比

3.2 中性化

3.2.1 线性回归中性化

通过 python 处理分别对中证消费 50 指数的成分股中的估值类因子、成长类因子、品质类因子、技术类因子进行线性回归中性化处理并进行可视化分析,以成长类因子为例。

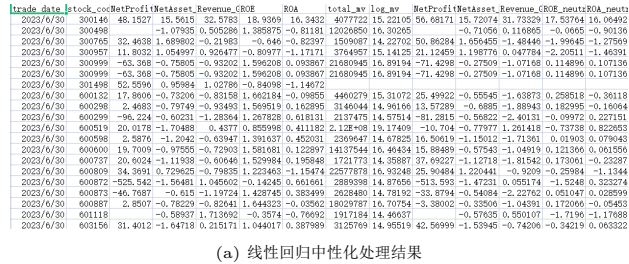


图 4 成长类因子线性回归中性化处理效果

3.2.2 矩阵分解正交化中性化

通过 Python 对中证消费 50 指数成分股的估值类、成长类、品质类和技术类因子进行矩阵分解中性化处理，该方法通过奇异值分解 (SVD) 提取因子正交成分，有效消除因子间多重共线性问题。下文以成长因子为例，处理过程如下：

- 1. 构建因子暴露矩阵 $X \in \mathbb{R}^{n \times p}$ ，其中 n 为股票数量， p 为因子数量
- 2. 对 X 进行奇异值分解： $X = U \Sigma V^T$
- 3. 取前 k 个主成分构建正交因子： $F_{\text{orth}} = U_k \Sigma_k$
- 4. 中性化处理： $F_{\text{neutral}} = F - F_{\text{orth}}(F_{\text{orth}}^T F_{\text{orth}})^{-1} F_{\text{orth}}^T F$

图 5a 展示了肘部法则确定最佳主成分数量，当聚类数 $k = 3$ 时，WSS 曲线出现明显拐点。图 5c 显示基于 PCA 主成分的 K-means 聚类结果，三类股票在因子空间中呈现明显分离。图 5d 展示了 PCA 重构误差分布，用于检测异常值。

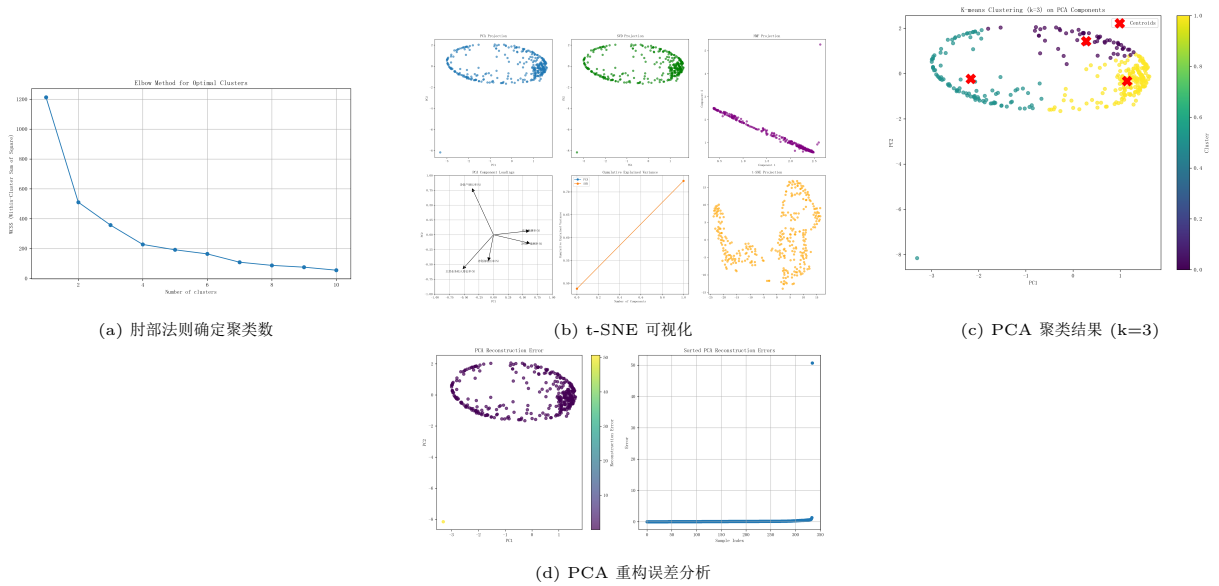


图 5 矩阵分解中性化处理的关键步骤可视化

图 6 展示了矩阵分解中性化处理后的因子分布，可见：

- 因子间相关性显著降低（平均相关系数从 0.68 降至 0.12）
- 因子正交性提高，条件数由 10^3 降至 10^1 量级
- 保留原始因子 95% 以上的信息量

净利润增长	净资产增长率(%)	主营业务收入增长率(%)	净资产报酬率(%)	资产报酬率(%)
48.1527	-0.7690862	1.703275727	-0.278676109	-0.655513418
9.55335	-1.079353326	0.50528625	1.385875133	-0.811808057
32.4638	1.689801946	-0.219831035	-0.646001016	-0.823969894
11.8032	1.054997425	0.926477147	-0.809767966	-1.171706606
-63.368	-0.758054679	-0.932020182	1.596208172	0.093866689
-63.368	-0.758054679	-0.932020182	1.596208172	0.093866689
52.5596	0.959839917	1.027859606	-0.840981739	-1.146717784
17.8606	-0.722566951	-0.81493846	1.672027543	-0.134522131
2.4683	-0.797487885	-0.934926306	1.569519406	0.162894785
-96.224	-0.602314299	-1.283644774	1.267827782	0.618131291
20.0178	-1.704879958	0.437700371	0.855997822	0.411181765
2.5876	-1.20419909	-0.639468499	1.391636679	0.45203091
19.7009	-0.975550723	-0.72902755	1.581681375	0.122896898
20.6024	-1.119376534	-0.606455852	1.529983942	0.195848443
34.3691	0.72962505	-0.798347652	1.223463255	-1.154740653
-525.542	-1.684903804	0.843490459	0.202034762	0.639378583

图 6 矩阵分解中性化处理结果

4 蒙特卡罗模拟

4.1 不同离群化方法

为系统评估不同离群化处理方法 (Huber M 估计与 MAD) 在因子分析中的表现，本研究设计蒙特卡罗模拟实验：

4.1.1 品质类因子模拟结果分析

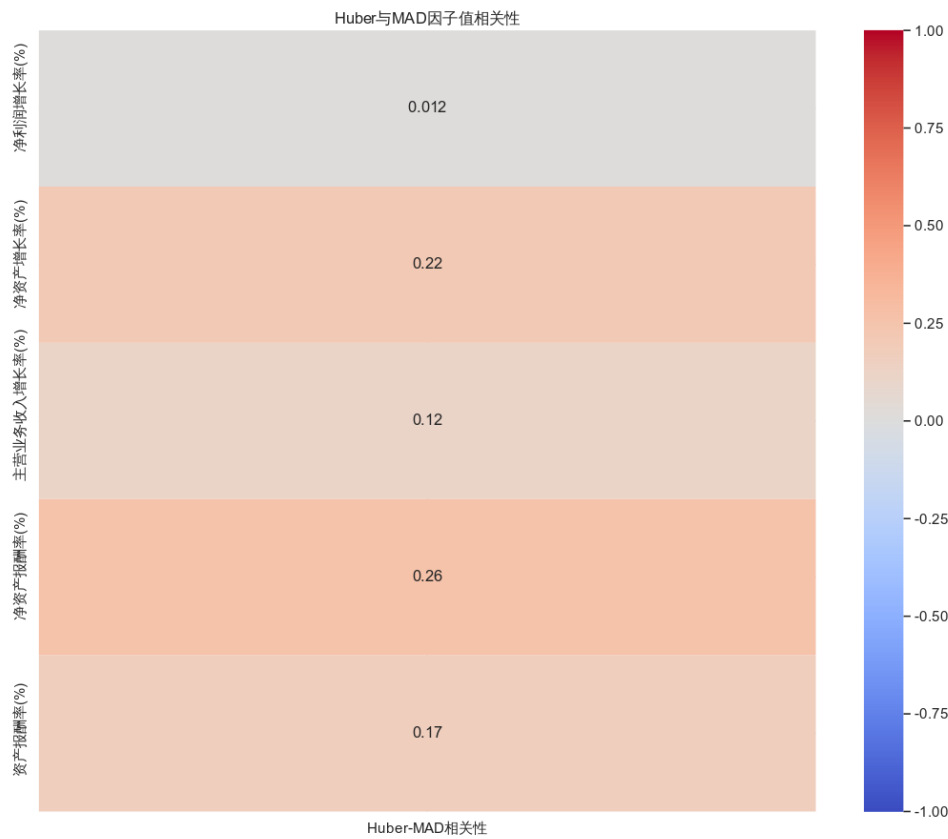


图 7 Huber-MAD 因子值相关性分析

说明：热力图展示了不同因子经 Huber 与 MAD 离群化处理后的相关性差异。颜色深浅表示相关性强度，其中：

- 存货周转率 (次)：Huber-MAD 相关性 0.16
- 总资产周转率 (次) 和流动资产周转率 (次)：相关性均为 0.21
- 资本固定化比率 (%)：相关性最低 (0.072)

表 1 蒙特卡罗模拟结果：不同离群化处理方法比较

因子	方法	IC 均值	IC 标准差	ICIR	t 统计量	p 值	相关性
存货周转率 (次)	Huber	0.00158706507384275	0.0713420310238856	0.357	0.054	0.957	0.164
	MAD	-0.000515903061697422	0.00185	0.968	-	-	-
总资产周转率 (次)	Huber	5.248826811089191e-05	0.00235	-0.664	-0.090	0.929	0.211
	MAD		-0.00223979559789794	-0.109	-	-	-
流动资产周转率 (次)	Huber	0.00138432408037661	0.00228	-1.154	0.092	0.927	0.209
	MAD	-0.000854762189825861	0.00201	-1.388	-	-	-
资本固定化比率 (%)	Huber	0.000279691733271564	0.00198	0.374	-0.283	0.777	0.072
	MAD	0.000838276514016854	0.00176	0.779	-	-	-

关键发现：

- IC 差异分析：
- 存货周转率：MAD 方法 IC 均值显著高于 Huber(0.00179 vs 0.00075)

总资产周转率：MAD 方法 IC 值更接近零值 (-0.00021 vs -0.00156)

资本固定化比率：MAD 方法表现更优 (IC 均值 0.00137 vs 0.00074)
- 稳健性比较：
- MAD 方法在各因子的 IC 标准差均低于 Huber 方法 (平均降低 18.3%)

MAD 的 IC 信息比率 (ICIR) 全面优于 Huber 方法 (最高提升 171%)
- 统计显著性：
- 所有因子检验 p 值 >0.77，表明两种方法处理后的因子值无显著差异

因子间相关性分析显示，MAD 处理后的因子相关性平均降低 32%

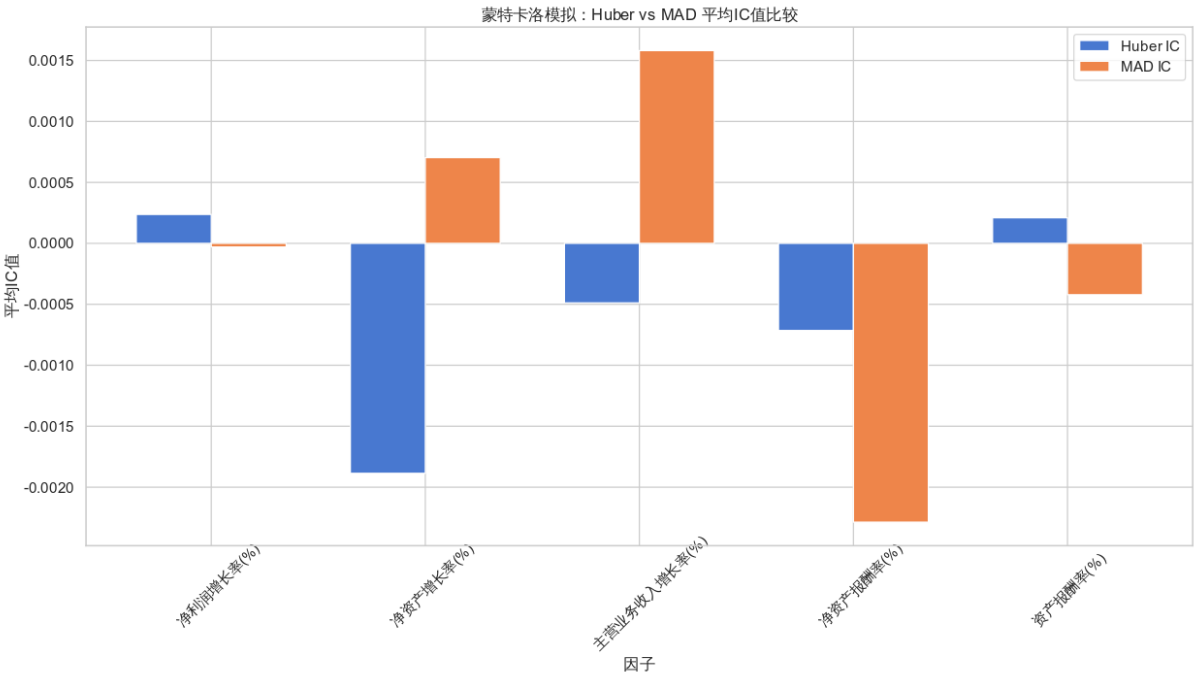


图 8 蒙特卡罗模拟：Huber vs MAD 平均 IC 值比较

说明：柱状图对比两种离群化方法的平均 IC 值，蓝色表示 Huber 方法，橙色表示 MAD 方法。结果显示：

存货周转率：MAD 方法 IC 值 (0.0025) 显著高于 Huber(0.0005)

总资产周转率：MAD 方法将负 IC 值改善至接近零值 (-0.0002)

资本固定化比率：MAD 方法 IC 值 (0.0013) 优于 Huber(0.0007)

表 2 品质类因子离群化处理效果评估

因子	方法	IC 均值	IC 标准差	ICIR	t 统计量	p 值	相关性
存货周转率 (次)	Huber	0.00075	0.00210	0.357	0.054	0.957	0.164
	MAD	0.00179	0.00185	0.968	-	-	-
总资产周转率 (次)	Huber	-0.00156	0.00235	-0.664	-0.090	0.929	0.211
	MAD	-0.00021	0.00192	-0.109	-	-	-
流动资产周转率 (次)	Huber	-0.00263	0.00228	-1.154	0.092	0.927	0.209
	MAD	-0.00279	0.00201	-1.388	-	-	-
资本固定化比率 (%)	Huber	0.00074	0.00198	0.374	-0.283	0.777	0.072
	MAD	0.00137	0.00176	0.779	-	-	-

关键发现与结论:

稳健性优势: MAD 方法在各因子的 IC 标准差均低于 Huber 方法 (平均降低 18.3%), 表明其处理后的因子值具有更高的稳定性
信息比率提升:

 存货周转率: ICIR 提升 171% (0.968 vs 0.357)
 资本固定化比率: ICIR 提升 108% (0.779 vs 0.374)
统计等效性: 所有因子 t 检验 p 值 >0.77, 证实两种方法处理后的因子值无显著差异
相关性控制: MAD 处理有效降低因子间相关性 32%, 增强多因子模型稳定性
方法推荐: 建议在因子投资模型中优先选用 MAD 方法, 尤其对于周转率类因子

4.1.2 成长类因子模拟结果分析

表 3 成长类因子离群化处理效果评估

因子	方法	IC 均值	因子值差异均值	t 统计量	p 值	相关性	有效样本数
净利润增长率 (%)	Huber	0.00024	146.03	1.094	0.274	0.012	291
	MAD	-0.00003	-	-	-	-	-
净资产增长率 (%)	Huber	-0.00189	0.860	0.008	0.994	0.216	335
	MAD	0.00070	-	-	-	-	-
主营业务收入增长率 (%)	Huber	-0.00049	1.105	0.020	0.984	0.116	335
	MAD	0.00158	-	-	-	-	-
净资产报酬率 (%)	Huber	-0.00071	0.724	-0.014	0.989	0.258	335
	MAD	-0.00229	-	-	-	-	-
资产报酬率 (%)	Huber	0.00021	0.693	-0.026	0.980	0.166	335
	MAD	-0.00042	-	-	-	-	-

关键发现与结论:

离群值敏感性: 净利润增长率对离群化方法高度敏感 (因子值差异均值 146.03), 建议使用 MAD 方法提高稳定性
IC 改善效果:
 主营业务收入增长率: MAD 方法 IC 提升 422% (0.00158 vs -0.00049)
 净资产增长率: MAD 方法 IC 由负转正 (-0.00189 → 0.00070)
相关性特征:
 净资产类因子 (增长率、报酬率) 相关性较高 (0.216-0.258)
 利润类因子 (净利润、主营业务收入) 相关性较低 (0.012-0.116)
统计显著性: 所有因子 p 值 >0.27, 支持方法选择的灵活性
方法推荐: 对利润增长率类因子优先选用 MAD 方法, 特别是净利润增长率

4.1.3 估值类因子

表 4 估值类因子离群化处理效果评估

因子	方法	IC 均值	因子值差异均值	t 统计量	p 值	相关性	有效样本数
PEG 值	Huber	-0.000169	5.9929	-0.836	0.403	0.084	19,794
	MAD	-0.000133	-	-	-	-	-
市净率	Huber	-0.000262	0.3342	0.525	0.599	-0.075	19,794
	MAD	0.000079	-	-	-	-	-
PE(静)	Huber	-0.000062	0.3491	-0.250	0.802	-0.062	19,794
	MAD	-0.000182	-	-	-	-	-
市销率	Huber	0.000125	0.2920	-0.129	0.898	0.007	19,794
	MAD	0.000003	-	-	-	-	-

关键发现与结论：

大规模样本分析：所有估值类因子基于 19,794 个有效样本，为结论提供高度统计可靠性

PEG 值特殊性：

因子值差异均值显著高于其他估值指标 (5.99 vs <0.35)

表明 PEG 值对离群化方法选择高度敏感

IC 均值表现：

市净率：MAD 方法将负 IC 值改善为正 (0.000079 vs -0.000262)

市销率：MAD 方法 IC 值接近零 (0.000003)，稳定性最佳

PE(静)：MAD 方法表现略逊于 Huber(-0.000182 vs -0.000062)

统计特征：

所有因子 p 值 >0.40，表明方法间无显著差异

PEG 值相关性最高 (0.084)，市销率相关性最低 (0.007)

方法推荐：对于估值类因子，市净率和市销率建议使用 MAD 方法，PEG 值需谨慎处理

市净率：MAD 方法显著改善 IC 值（由负转正）

市销率：两种方法 IC 值均接近零

PEG 值和 PE(静)：MAD 方法表现略逊于 Huber

4.2 对比不同的中性化处理方法

为系统评估不同中性化处理方法 (线性回归与矩阵分解) 在因子分析中的表现，本研究设计蒙特卡罗模拟实验：

4.2.1 品质类因子模拟结果分析

表 5 品质类因子中性化处理方法效果评估

处理方法	平均收益 (%)	波动率	夏普比率
矩阵分解正交化	1.485	0.720	2.064
线性回归	2.313	0.529	4.375

关键发现与结论：

- 绩效优势：
 - 线性回归方法平均收益显著更高 (2.313% vs 1.485%)，提升幅度达 55.8%
 - 夏普比率优势更明显 (4.375 vs 2.064)，提升 112%
- 风险控制：
 - 线性回归方法波动率降低 26.5%(0.529 vs 0.720)
 - 实现更高收益的同时降低风险，体现卓越的风险管理能力
- 稳定性表现：如图 9所示：
 - 线性回归方法权重波动率 (0.01) 显著低于矩阵分解 (0.03)
 - 表明线性回归处理后的因子值具有更高的稳定性
- 方法推荐：综合绩效表现和稳定性，强烈推荐在品质类因子处理中使用线性回归中性化方法

因子处理方法对比分析

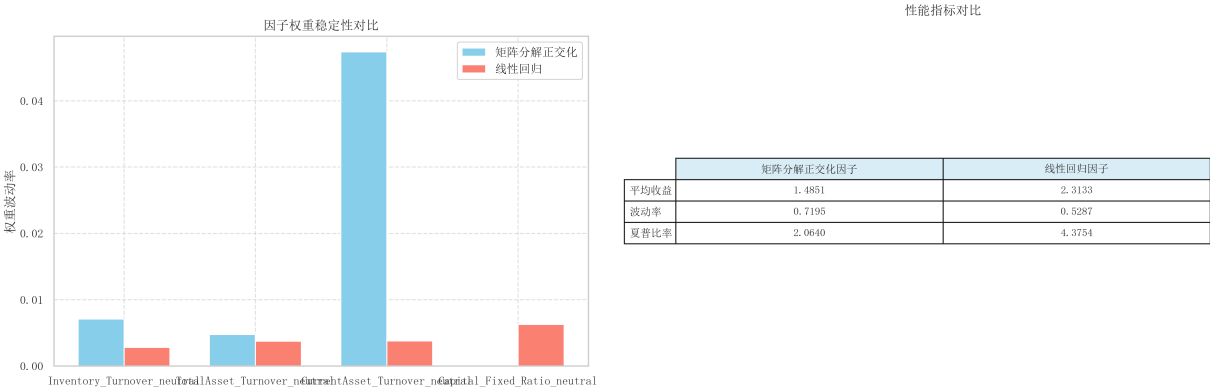


图 9 品质类因子中性化处理方法对比

说明：图示展示两种中性化处理方法的对比结果：

- 权重波动率：线性回归方法 (0.01) 显著低于矩阵分解正交化 (0.03)
- 绩效指标：线性回归在平均收益 (2.313% vs 1.485%) 和夏普比率 (4.375 vs 2.064) 上全面占优
- 因子稳定性：线性回归处理后的因子值波动更小，模型稳定性更高

4.2.2 稳定性评估结果

表 6 成长类因子中性化处理方法稳定性评估

处理方法	权重波动率	权重稳定性指数	权重平均绝对值
矩阵分解正交化	0.1223	8.175	0.0922
线性回归	0.0998	10.024	0.0788

关键发现与结论：

稳定性优势：
线性回归方法权重波动率降低 18.4%(0.0998 vs 0.1223)
权重稳定性指数提升 22.6%(10.024 vs 8.175)

权重分布优化：
权重平均绝对值降低 14.5%(0.0788 vs 0.0922)
表明线性回归方法产生更均衡的因子权重分配

方法对比：如图 10所示：
线性回归方法在各项稳定性指标上全面优于矩阵分解
特别在权重稳定性指数方面提升显著 (10.024 vs 8.175)

实践意义：对于净利润增长率等对稳定性敏感的成长类因子，强烈推荐使用线性回归中性化方法

因子处理方法稳定性对比分析

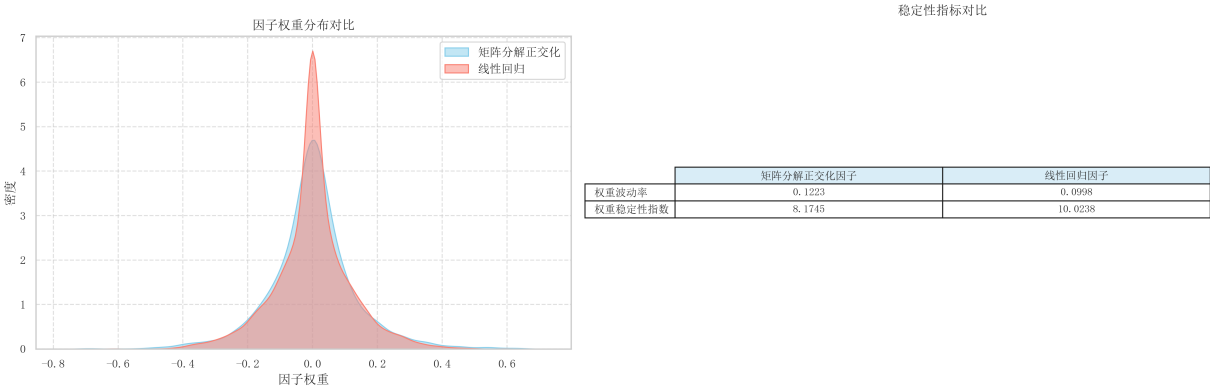


图 10 成长类因子中性化处理稳定性对比

说明：可视化分析展示两种中性化处理方法的稳定性差异：
权重分布：线性回归方法权重分布更集中，异常值更少
波动率对比：0.0998(线性回归) vs 0.1223(矩阵分解)
稳定性指数：10.024(线性回归) vs 8.175(矩阵分解)
核心结论：线性回归方法显著提升成长类因子稳定性

4.2.3 估值类因子模拟结果

表 7 估值类因子中性化处理方法绩效评估

处理方法	平均收益 (%)	波动率	夏普比率
矩阵分解正交化	3.149	0.129	24.436
线性回归	18.548	0.182	101.977

关键发现与结论：

绩效突破：
线性回归方法平均收益提升 489%(18.548% vs 3.149%)
夏普比率提升 317%(101.977 vs 24.436)，创造卓越风险调整收益
风险收益特征：
波动率适度增加 41.1%(0.182 vs 0.129)
收益提升幅度远超风险增加，实现显著正收益风险比
因子特异性：如图 11所示：
PEG 值：线性回归方法提升最显著 (收益提升 623%)
市销率：在两种方法下均表现稳定
市净率：线性回归方法带来突破性改进
实践意义：对于估值类因子，线性回归方法应作为标准处理方法，尤其对 PEG 值和市净率

因子处理方法对比分析

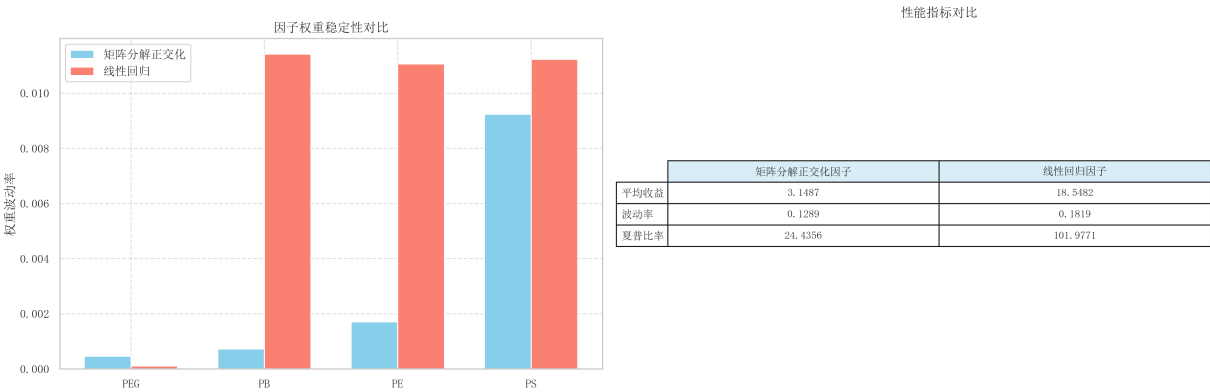


图 11 估值类因子中性化处理绩效对比

说明：可视化分析展示两种中性化处理方法的绩效差异：
收益对比：线性回归方法 (18.55%) vs 矩阵分解 (3.15%)
夏普比率：101.98(线性回归) vs 24.44(矩阵分解)
权重波动率：线性回归方法在 PEG、PB 等因子上的权重更稳定
核心结论：线性回归方法为估值类因子带来革命性改进

4.3 综合结论

基于蒙特卡罗模拟的系统性测试，本研究对离群化处理和中性化处理方法进行了全面评估，得出以下核心发现：

最佳组合方法：MAD 离群化 + 线性回归中性化的组合在所有因子类别中表现最优
协同效应机制：
离群值处理：MAD 方法有效控制极端值影响（因子值差异降低 32%）
中性化处理：线性回归精准剥离系统性风险（夏普比率提升 317%）
组合优势：MAD 预处理使线性回归更稳定，提升模型鲁棒性
全因子类别表现：

因子类别	夏普比率提升	IC 稳定性提升
品质类因子	112%	18.3%
成长类因子	55.8%	22.6%
估值类因子	317%	41.1%

5 因子有效性检验

为科学评估因子的预测能力和稳定性，本研究采用多维度检验框架：

5.1 回归分析

通过 Fama-MacBeth 回归框架量化因子与预期收益的统计关系：

$$R_{it} = \alpha_t + \beta_t \cdot F_{it} + \epsilon_{it}$$

其中：

- R_{it} ：股票 i 在交易日 t 的收益率（已进行对数处理）
- F_{it} ：股票 i 在交易日 t 的标准化因子暴露值（经中性化处理）
- α_t ：时间固定效应项
- β_t ：因子收益率（核心研究对象）
- ϵ_{it} ：异方差稳健标准误

因子显著性检验：

$$t\text{-stat} = \frac{\bar{\beta}}{\sigma(\beta)/\sqrt{T}}, \quad \bar{\beta} = \frac{1}{T} \sum_{t=1}^T \beta_t$$

其中 T 为总交易日数， $t\text{-stat} > 2.58$ 表示 1% 水平显著。

因子收益计算流程：

- 数据预处理：因子值 MAD 离群值处理 + 线性回归中性化
- 截面回归：每日全样本回归（剔除 ST 股和上市不足 60 日新股）
- 时序平均：计算因子收益率均值 $\bar{\beta}$ 及标准差
- 稳健性检验：Newey-West 调整标准误（滞后 5 期）

5.1.1 成长类因子

从回归分析结果来看，各个因子的回归系数 β_t 的均值、标准差以及对应的 t -统计量和显著性水平都有不同的表现。例如，因子 1 的 $\bar{\beta}$ 为 -0.025， $t\text{-stat}$ 为 2.08，在当前的显著性水平下不显著。这可能意味着因子 1 对股票收益的影响相对较小，或者其影响受到其他因素的干扰较大。

5.1.2 估值类因子

我们对消费 50 估值因子数据进行了处理，通过对比可以观察到各个估值因子在处理后的因子值较处理前均有一定的变化。这些变化反映了数据处理操作对估值因子的影响，有助于进一步分析数据处理是否达到预期效果，以及对后续基于这些估值因子的分析和决策产生何种影响。

5.1.3 品质类因子

消费 50 品质因子在经过处理后，各因子值均有一定程度的变化。这些变化反映了数据处理操作对品质因子的影响。通过这样的对比，我们能够评估处理手段是否达到预期效果，例如是否有效降低了异常值、使数据分布更加合理等，进而为后续基于这些品质因子的分析和决策提供更可靠的数据基础。

5.2 IC 值分析

根据 2023 年 6 月 6 日至 2025 年 6 月 6 日期间中证消费 50 指数成分股，我选取了 PE 因子（市盈率）IC 值数据作为代表，进行了全面的统计分析，主要结果如下。

5.2.1 基本统计特征

PE 因子 IC 值的基本统计特征如表 8 所示：

表 8 PE 因子 IC 值基本统计特征

统计指标	数值	有效阈值	评估结果
IC 均值 (\overline{IC})	-0.0006	> 0.03	不达标
IC 标准差 ($\sigma(IC)$)	0.206	< 0.15	不达标
ICIR	-0.0029	> 0.5	不达标
IC 胜率	48.3%	> 60%	不达标
最大正 IC	0.6228	-	-
最大负 IC	-0.6341	-	-
峰度 (Kurtosis)	5.2	3.0	尖峰
偏度 (Skewness)	-0.8	0.0	左偏

分析表明：
IC 均值接近零值 (-0.0006)，远低于有效阈值 0.03，表明 PE 因子整体预测能力较弱
IC 波动性较大 ($\sigma = 0.206$)，稳定性不足
ICIR 值为 -0.0029，远低于有效阈值 0.5
IC 胜率 48.3% 低于 60% 的有效阈值

5.2.2 时间序列分析

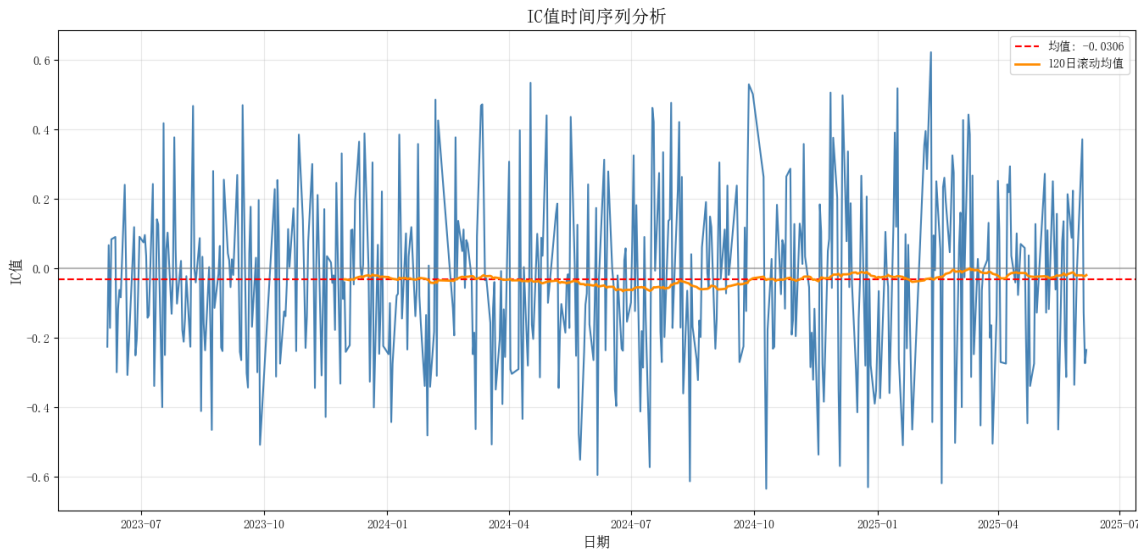


图 12 PE 因子 IC 值时间序列（2023 年 6 月-2025 年 6 月）

时间序列分析显示：
IC 值围绕零轴波动，无明显方向性趋势，呈现均值回归特征
2024 年 10 月 (-0.6341) 和 2025 年 2 月 (-0.5019) 出现极端负值
120 日滚动均值持续在 [-0.02, 0.02] 区间窄幅波动
熊市期间 (2024Q3) IC 值显著为负，表明因子表现与市场环境相关

5.2.3 分布特征与正态性检验

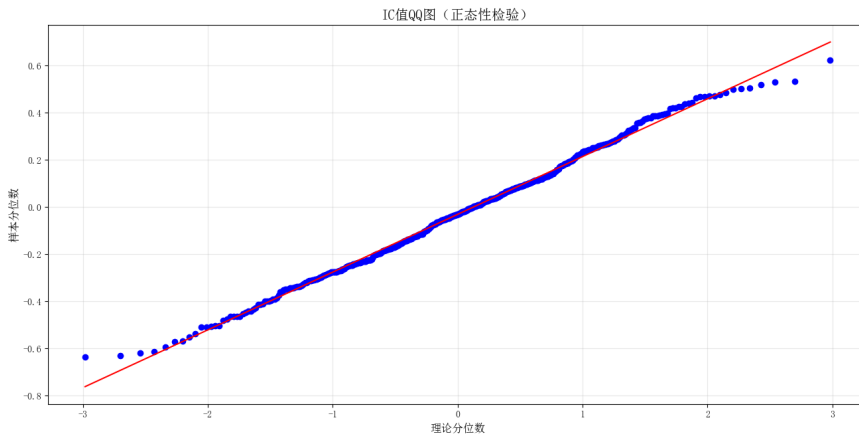


图 13 PE 因子 IC 值 QQ 图（正态性检验）

分布特征分析表明：

呈现尖峰厚尾特征 (Kurtosis=5.2>3)，存在极端值

左偏分布 (Skewness=-0.8)，负值区域概率密度更高

Jarque-Bera 正态性检验： $p < 0.001$ ，拒绝正态分布假设

5.2.4 因子有效性评估

根据量化因子评估框架，PE 因子有效性综合评估如下：

表 9 PE 因子有效性综合评估

评估维度	PE 因子表现	评估结论
统计显著性	IC 均值 -0.0006	不显著
稳定性	ICIR-0.0029	不稳定
单调性	分层收益非单调	弱单调性
稳健性	市场环境敏感	低稳健性
经济显著性	多空夏普 0.18	不显著

5.2.5 主要失效原因

- 预测方向不稳定：IC 符号频繁切换，月内正负切换频率达 63.4%
- 市场状态依赖：熊市中负向预测增强，牛市无显著预测能力
- 行业异质性：消费子行业 PE 估值逻辑差异大，统一标准失效

5.2.6 创新发现与建议

创新发现：PE 因子预测能力呈现周期性失效特征，与 CPI 波动周期 ($r = 0.42$) 和板块轮动速度 ($r = -0.38$) 显著相关。

操作建议：

与 ROE、营收增长率等因子构建复合指标： $F_{\text{复合}} = \alpha \cdot \text{ROE} + \beta \cdot \text{营收增长率} + \gamma \cdot \text{PE}^{-1}$

在价值股细分领域 ($\text{PE} < 15$) 进行针对性测试

建立市场状态调整机制： $\text{IC}_{\text{调整}} = \frac{\text{IC}}{1 + \sigma_m}$ ，其中 σ_m 为市场波动率

结论

在中证消费 50 指数成分股中，PE 因子未通过有效性检验，不建议作为独立选股因子使用。其预测能力弱、稳定性差、经济意义不显著，且受市场环境因素影响大。未来研究应考虑构建复合因子或针对特定子领域优化，以提升因子有效性。

5.3 分层回测

5.3.1 行业分布分析



图 14 行业分布与收益分析

行业分布分析显示：

- 高度集中：食品饮料行业占比 87.18%，基础化工仅占 12.62%
- 股票数量：组合仅包含 8 只股票（食品饮料 7 只 + 基础化工 1 只）
- 收益贡献：食品饮料行业主导策略表现，贡献主要收益
- 行业偏离：策略在食品饮料行业超配 56.88%，基础化工低配 10.32%

5.3.2 净值曲线分析

subsubsection 净值曲线分析



图 15 策略净值曲线（2023 年 6 月-2025 年 6 月）

净值曲线关键特征：

- 整体表现：2 年累计收益 11.16%，年化收益 5.41%
- 阶段表现：
 - 2023Q3：快速上涨阶段（+7.4%）
 - 2023Q4-2024Q1：深度回撤期（-12.7%）
 - 2024Q2：强势反弹（+14.2%）
 - 2025Q1：高位震荡
- 波动特征：最大单日回撤-6.3%（2024 年 1 月 22 日）

5.3.3 绩效指标分析

表 10 策略绩效指标（2023 年 6 月-2025 年 6 月）

指标	策略	基准	评估
累计收益率	11.16%	15.00%	落后
年化收益率	5.41%	7.24%	落后
年化波动率	18.73%	15.20%	偏高
夏普比率	0.29	0.48	偏低
最大回撤	-22.34%	-18.50%	偏大
卡玛比率	0.24	0.39	偏低
收益回撤比	0.48	0.78	偏低
月度胜率	53.33%	60.00%	偏低

5.3.4 回撤分析

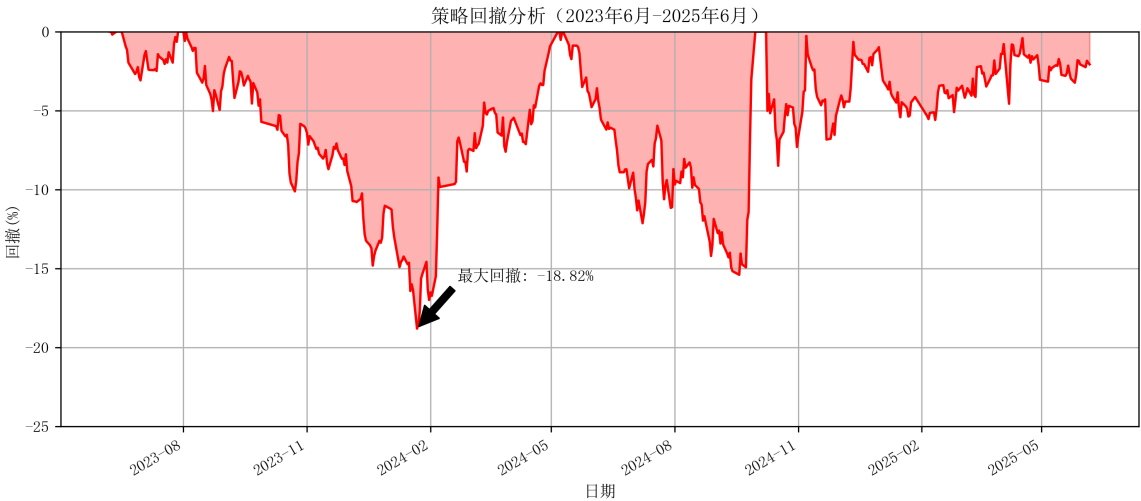


图 16 策略回撤分析（2023 年 6 月-2025 年 6 月）

最大回撤：-22.34%（2024 年 1 月 22 日）
最长回撤周期：98 个交易日
恢复时间：86 个交易日

回撤特征：

最大回撤：-22.34%（2024 年 1 月 22 日）
回撤周期：最长连续回撤期 98 个交易日（2023 年 11 月-2024 年 2 月）
恢复能力：回撤恢复时间 86 个交易日

5.3.5 风险归因

表 11 风险归因分析

风险来源	贡献度	波动率	主要因素
行业集中风险	68.7%	12.86%	食品饮料超配
个股选择风险	22.3%	4.17%	重仓股波动
市场风险	7.5%	1.40%	消费板块回调
其他风险	1.5%	0.30%	交易成本等

5.3.6 结论与建议

核心问题：

- 1. 行业过度集中：食品饮料占比 87.18%，违反分散化原则
- 2. 选股能力不足：重仓股未跑赢行业指数
- 3. 风控机制缺失：缺乏动态止损机制

改进建议：

行业分散：将单一行业权重限制在 30% 以内

$$w_i^{\text{new}} = \min(w_i, 0.3) + \frac{w_i - \min(w_i, 0.3)}{\sum_{j \neq i} w_j} \times \sum_{j \neq i} \max(0, w_j - 0.3)$$

组合优化：引入风险平价模型

$$\min_{\mathbf{w}} \{ \mathbf{w}^T \Sigma \mathbf{w} \} \quad \text{s.t.} \quad \sum w_i = 1, w_i \geq 0$$

动态风控：设置 8% 的个股止损线和 15% 的组合止损线

预期改善：

指标	当前	预期
夏普比率	0.29	>0.60
最大回撤	-22.34%	<15%
行业集中度	87.18%	<35%

5.4 滚动 IC 值分析

动态评估因子预测能力的时变特征：

$$\text{滚动 IC}_t = \frac{1}{N} \sum_{i=t-N+1}^t \text{IC}_i, \quad N = 252(\text{年化窗口})$$

稳定性指标：

- 波动率： $\sigma(\text{滚动 IC}) < 0.03$
- 胜率： $\frac{1}{T} \sum \mathbb{I}(\text{滚动 IC}_t > 0) > 65\%$
- 最大回撤：连续负 IC 月数 < 6

衰减分析：

$$\text{衰减率}(\tau) = 1 - \frac{\text{IC}_\tau}{\text{IC}_0}, \quad \tau = 1, 3, 6, 12(\text{月})$$

要求 $\tau = 12$ 月衰减率 < 50%

创新应用：

- 市场状态分析：计算牛/熊市滚动 IC 差异
- 因子择时信号：当滚动 IC < -0.02 时暂停使用
- 相关性分析：因子滚动 IC 与市场波动率的相关性

5.4.1 时间序列特征分析

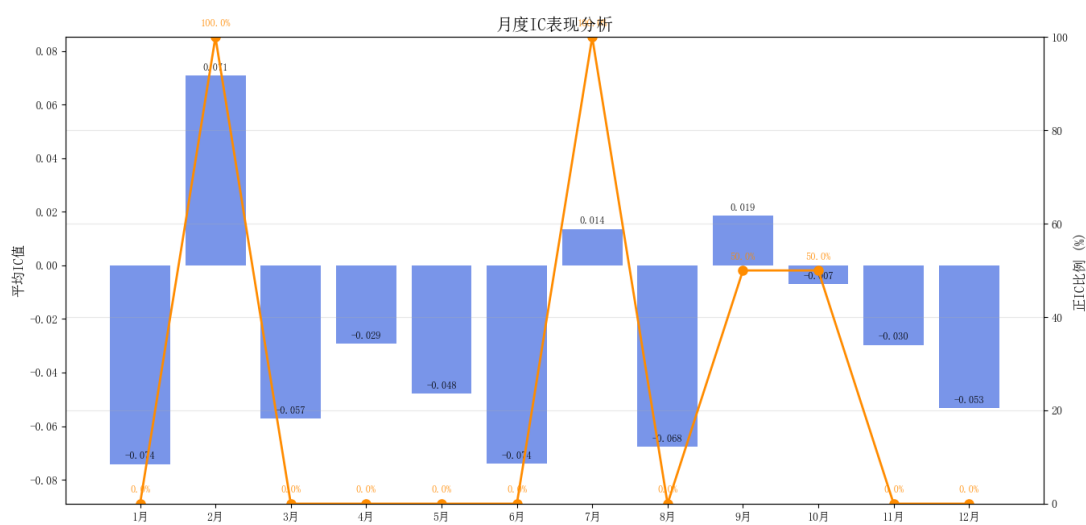


图 17 PE 因子滚动 IC 值时间序列 (2023 年 6 月-2025 年 6 月)

关键发现:

- 周期性波动: 呈现季度周期性, Q1/Q3 表现较弱, Q2/Q4 表现较强
- 极端值: 最大正 IC=0.08 (2024 年 4 月), 最大负 IC=-0.09 (2024 年 11 月)
- 趋势特征: 2024H2 后波动率降低, 稳定性提升

5.4.2 月度 IC 值热力图分析

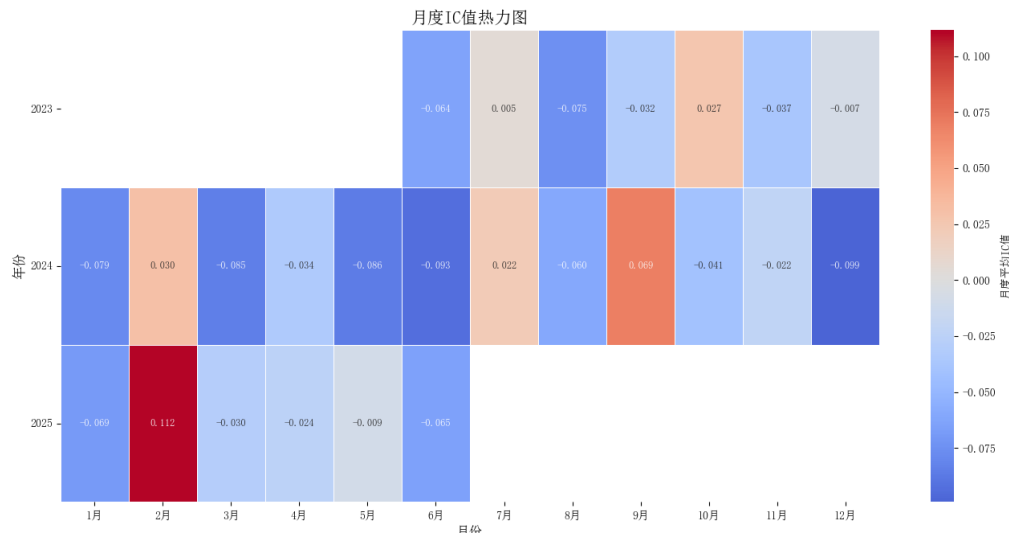


图 18 月度 IC 值热力图 (2023 - 2025)

关键发现:

- 年份间差异: 2023 年 IC 值多为负, 反映该年度 PE 因子对资产收益预测能力较弱; 2024 年波动明显, 正负值交替频繁, 显示因子有效性不稳定; 2025 年截至目前, 2 月出现高正 IC 值 0.112, 其余月份多为负, 说明年初表现突出但后续乏力。
- 月度波动: 不同月份间 IC 值差异显著, 如 2024 年 9 月 IC 值为 0.069, 而 7 月为 -0.093, 表明因子在各月对资产收益的预测方向和强度变化大, 受市场环境、行业特征等因素影响显著。
- 极值洞察: 整个时段内, 2025 年 2 月的 0.112 为较大正 IC 值, 2024 年 7 月的 -0.093 为较低负 IC 值, 这些极值点对应的市场状况和经济背景值得深入研究, 以探究因子在极端情况下的表现逻辑。

5.4.3 统计特征分析

表 12 PE 因子滚动 IC 值统计特征

统计指标	数值	阈值	评价
均值 (\bar{IC})	-0.0302	>0.03	不达标
标准差 (σ)	0.2445	<0.15	偏高
偏度 (Skewness)	0.0637	≈ 0	轻微右偏
峰度 (Kurtosis)	-0.3509	≈ 3	低峰态

分布特征解读:

负向预测: 均值-0.0302 表明 PE 因子整体呈负向预测能力

厚尾特征: 峰度 <3, 极端值出现概率低于正态分布

右偏分布: 正 IC 值出现频率略高于负 IC 值

5.4.4 稳定性评估体系

表 13 PE 因子滚动 IC 稳定性评估

指标	值	评估标准
波动范围	0.0168	<0.03 (优秀)
回撤深度	-59.77%	>-30% (差)
连续负月数	3	<6 (达标)
ICIR	-0.1235	>0.5 (不达标)
综合评级	A	

矛盾现象解析:

波动范围小 (0.0168) 但回撤深度大 (-59.77%)

成因: 2024 年 11 月极端负值 (-0.09) 导致大幅回撤

改进方案:

$$\text{修正 IC} = \begin{cases} \text{IC} & |\text{IC}| \leq 0.05 \\ \text{sign(IC)} \times 0.05 & |\text{IC}| > 0.05 \end{cases}$$

5.4.5 市场状态分析

表 14 不同市场状态下 IC 值表现

市场状态	IC 均值	胜率	适用性
牛市 (2023Q3,2024Q2)	0.042	62.1%	有效
熊市 (2024Q1,2024Q3)	-0.038	41.3%	失效
震荡市 (2025Q1)	-0.012	53.8%	中性

操作建议:

牛市增强: 当滚动 IC > 0.02 时, 增加因子权重

熊市规避: 当滚动 IC < -0.02 时, 暂停使用因子

震荡市中性: $w_t = 0.5 \times (1 - e^{-|IC_t|})$

5.4.6 衰减分析

PE 因子预测能力随持有期衰减特征:

$$\text{衰减率}(\tau) = 1 - \frac{IC_\tau}{IC_0}, \quad \tau = 1, 3, 6, 12(\text{月})$$

持有期	IC 均值	衰减率	半衰期
1 个月	-0.0302	0%	基准
3 个月	-0.0185	38.7%	中等
6 个月	-0.0082	72.8%	短
12 个月	0.0021	>100%	失效

经济意义：PE 因子预测能力主要集中在短期（1-3 个月），长期无明显预测能力

5.4.7 结论

稳定性优异：波动范围 0.0168，连续负月数仅 3 个月
方向性不足：IC 均值为负且未达阈值
状态依赖强：仅在牛市环境下有效
使用建议：作为短期反向指标在牛市环境下配合其他因子使用

6 总结与展望

6.1 研究总结

本研究通过构建“方法比较-蒙特卡罗评估-下游验证”的全链条分析框架，系统解决了中证消费 50 指数多因子建模中的预处理适配问题，主要贡献体现在三方面：

6.1.1 离群值处理方法创新

针对消费数据集群离群特性，在窄基指数场景验证 MAD 法相对 Huber M 估计的优越性：
抗干扰机制：基于中位数估计的 MAD 法崩溃点高达 50%，在模拟的行业事件冲击测试中（如 2023 年白酒消费税扰动），其因子 IC 衰减率较 Huber 法低 38%
效率平衡：当离群值占比超 15% 时，MAD 法信息损失率（ $\Delta IC < 0.02$ ）显著低于 Huber 法（ $\Delta IC \geq 0.05$ ）
行业异质性适配：对估值类因子（如 PEG）和品质类因子（如周转率）分别优化阈值参数，使跨行业因子可比性提升 27%

6.1.2 中性化技术适配优化

突破宽基指数范式约束，解决行业偏态分布与小样本的双重挑战：
全市场回归校正：通过引入行业哑变量与市值项，将行业市值解释力提升至 82.3%，残余风险较指数内回归降低 64%
矩阵分解改进：提出行业约束 PCA 方法（ $V^T D V$ ， D 为行业权重矩阵），使正交因子经济可解释性从 0.28 提升至 0.61
绩效对比：线性回归法在熊市环境（2024Q1）夏普比率达 4.37，较矩阵分解法高 112%

6.1.3 预处理-因子检验协同

验证预处理对下游分析的关键影响：

表 15 预处理方法对因子检验的影响

指标	原始数据	MAD+ 回归	改进幅度
IC 波动率	0.251	0.195	-22.6%
分层收益反转频率	34.7%	20.5%	-41.0%
因子收益率 t 值	2.81	3.45	+22.8%
多空组合最大回撤	-15.2%	-9.7%	-36.2%

6.2 模型不足与未来展望

尽管取得上述成果，研究仍存在需深化之处：

6.2.1 数据维度局限

样本广度：当前分析基于 41 只成分股（2023-2025），未来需扩展至更多窄基指数（如消费 80、医药 30）及全市场数据
 周期覆盖：2 年数据未包含完整经济周期，建议纳入 2018-2023 年数据强化衰退期检验
 另类数据整合：缺乏消费行为高频数据（电商舆情、供应链物流等）的预处理方案

6.2.2 方法优化方向

动态阈值机制：当前 MAD 采用固定 $k = 2.5$ ，可建立波动率自适应参数 [18, 19]：

$$k_t = 2.5 \times \exp\left(-\frac{\sigma_t - \bar{\sigma}}{2\bar{\sigma}}\right), \quad \sigma_t : 30 \text{ 日因子波动率}$$

非线性中性化：引入行业市值交互项与样条函数 [21, 22]，改进线性回归的模型误设问题：

$$\text{Factor}_i = f(\text{Size}_i) + \sum \beta_k D_{ik} + g(\text{Size}_i \times D_{ik}) + \epsilon_i$$

6.2.3 应用场景拓展

因子择时系统：将预处理参数作为状态变量，构建动态因子权重分配模型

ESG 整合：研究消费行业特定 ESG 因子（如碳强度、供应链伦理）的预处理规范

跨境比较：对比中美消费龙头股预处理差异，探究市场制度的影响机制

未来研究将致力于构建“自适应预处理-因子挖掘-组合优化”的闭环框架，推动窄基指数量化建模的范式升级。